

## بررسی میزان gap و overhang در ناحیه finish line کوپینگ‌های تهیه شده با سه روش ریختگی با دو نوع آلیاژ در ایمپلنت‌های ITI

دکتر حکیمه سیادت<sup>†</sup>- دکتر علی میرفاضائیان<sup>\*</sup>- دکتر مرضیه علی خاصی<sup>\*</sup>- دکتر محسن محمد علیزاده<sup>\*\*</sup>

\*استادیار گروه آموزشی پروتز متحرک و عضو مرکز تحقیقات دندانپزشکی دانشگاه علوم پزشکی و خدمات بهداشتی، درمانی تهران

<sup>\*\*</sup>دانپزشک

**Title:** Discrepancy measurements of copings prepared by three casting methods and two different alloys, on ITI implants.

**Authors:** Siadat H. Assistant Professor\*, Mirfazaelian A. Assistant Professor\*, Alikhasi M. Assistant Professor\*, Mohammad Alizadeh M. Dentist

**Address:** \*Department of Prosthodontics, School of Dentistry, Medical Sciences/ University of Tehran

**Background and Aim:** An important criterion for success assessment of implant-supported prostheses is marginal fit. Vertical and horizontal discrepancy can result in loosening of the prosthetic screw, crestal bone resorption, peri-implantitis and loss of osseointegration. Despite careful attention to waxing, investing, and casting, marginal discrepancies are inevitable. The aim of this study was to evaluate the marginal gap and overhang in three casting methods with two different alloys in ITI implants.

**Materials and Methods:** In this experimental in vitro study 48 analog abutments were randomly divided into six groups as follows: 1) burn out cap + BegoStar, 2) impression cap + BegoStar, 3) conventional wax up + BegoStar, 4) burn out cap + Verabond2, 5) impression cap + Verabond2, 6) conventional wax up + Verabond2. Waxing was done in 0.7 mm thickness verified by a digital gauge and a putty index was made for all groups. Reamer was used for correction of the finish line after casting in all groups. Castings were seated on analog abutments and embedded in acrylic resin. Specimens were sectioned by isomet instrument and polished and cleaned by ultrasonic cleaner for 10 min. The marginal gap and overextended margins of castings were examined under a Scanning Electron Microscope (SEM) (X200). The mean gap and margin overextension were calculated for each group. Data were analyzed by multivariate analysis and Bonferroni post-hoc test with  $p<0.05$  as the level of significance.

**Results:** No significant difference in gap size was observed among the three casting methods with two alloys ( $P=0.056$ ). The marginal gap was not different in the studied casting methods ( $P=0.092$ ). Gold alloy crowns showed lower marginal gaps compared to base metal alloy crowns ( $P<0.001$ ). No significant difference in overhang size was observed among casting methods with two alloys ( $P=0.093$ ). Base metal alloy crowns showed less overhang compared to gold alloy crowns ( $P<0.001$ ). There was a significant correlation between overhang and use of impression cap in base metal alloys ( $P<0.001$ ).

**Conclusion:** Based on the results of this study, vertical discrepancy of frameworks made with gold alloy were less than those made with base metal alloy. Base metal alloy demonstrated less overhang. Conventional wax up or using burn out caps produced less horizontal discrepancy.

**Key Words:** Dental implant; Impression cap; Burn out cap; Marginal gap; Overhang; Finish line; Overextended margin; Marginal fit; Dental alloy; Marginal discrepancy

### چکیده

**زمینه و هدف:** یکی از فاکتورهای مهم در موفقیت ایمپلنت‌های دندانی تطابق لبه‌ای casting و ابانت در ایمپلنت‌های سمان شونده می‌باشد. overhang و gap در مارجین ایمپلنت می‌تواند سبب لقی، تحلیل استخوان کرستال، peri-implantitis و از دست رفتن اسئواینتگریشن شود. علیرغم دقت در مراحل واکس

<sup>†</sup> مؤلف مسؤول: نشانی: تهران- خیابان انقلاب- خیابان قدس- دانشگاه علوم پزشکی تهران- داشکده دندانپزشکی- گروه آموزشی پروتز متحرک

تلفن: ۸۸۷۳۷۵۶۴ دورنگار: ۸۸۷۳۷۲۱۶ نشانی الکترونیک: hsiadat@sina.tums.ac.ir

آپ، سیلندرگذاری و ریختگی، عدم تطابق لبه‌ای اجتناب ناپذیر است. هدف از این تحقیق تعیین میزان gap و overhang در ناحیه finish line کوپینگ‌های فلزی می‌باشد که با سه روش casting با دو نوع آلیاز بر روی ایمپلنت‌های ITI تهیه شده‌اند.

**روش بررسی:** در این بررسی تجربی آزمایشگاهی چهل و هشت آنالوگ ابامنت به صورت تصادفی به شش گروه تقسیم شدند. گروه اول: cap با آلیاز قیمتی بگوستار ریخته شد. گروه دوم: گروه impression cap که با آلیاز قیمتی بگوستار ریخته شد. گروه سوم: wax-up مستقیم بر روی آنالوگ ابامنت که با آلیاز قیمتی بگوستار ریخته شد. گروه چهارم: burn-out cap که با آلیاز غیرقیمتی ۲ Verabond ریخته شد. گروه پنجم: impression cap که با آلیاز غیرقیمتی ۲ Verabond ریخته شد. گروه ششم: گروه ششم wax-up مستقیم بر روی آنالوگ ابامنت که با آلیاز غیرقیمتی ۲ Verabond ریخته شد. گروه هشتم: گروه هشتم finish line تمام گروه‌ها استفاده شد. کلیه نمونه‌ها واکس آپ به ضخامت ۷/۰ میلی‌متر انجام شد، سپس یک ایندکس پوتی تهیه گردید. از ریمر جهت تصحیح SEM نمونه‌ها در آکریل شفاف قرار داده و توسط دستگاه ایزومت برش داده شدند. کلیه گروه‌ها توسط دستگاه پالیش پرداخت و با اولتراسونیک تمیز شدند. سپس نمونه‌ها در حدفاصل casting و analogue در مارجین مزیالی و دیستالی نمونه‌های برش خورده توسط Overhang از نظر اندازه گپ و Overhang با بزرگ‌نمایی ۲۰۰ مورد ارزیابی قرار گرفتند. متوسط میزان gap و overhang مارجین‌ها برای هر گروه محاسبه شد. داده‌ها توسط تست آماری Multivariate M و تست post-hoc Bonferroni با  $\alpha=0.05$  آنالیز شد.

**یافته‌ها:** میزان gap در سه روش کستینگ impression cap و burn out cap و با دو نوع آلیاز (BegoStar, Verabond 2) با هم اختلاف آماری معنی‌داری نداشتند ( $p=0.05$ ). میزان gap در سه روش کستینگ wax up و impression cap و burn out cap با هم اختلاف آماری معنی‌داری نداشتند ( $p=0.92$ ). میزان gap در نمونه‌های ساخته شده از آلیاز طلا به طور معنی‌داری کمتر از نمونه‌های ساخته شده با آلیاز بیس مثال بود ( $p<0.001$ ). میزان overhang در سه روش کستینگ و با دو نوع آلیاز با هم اختلاف آماری معنی‌داری نداشتند ( $p>0.93$ ). میزان گروه‌های ساخته شده با آلیاز بیس مثال به طور معنی‌داری کمتر از نمونه‌های ساخته شده با آلیاز طلا بود ( $p<0.001$ ). میزان overhang در نمونه‌های basemetal که با روش impression cap ریخته شده بودند بیش از دو روش کستینگ دیگر بود ( $p<0.001$ ).

**نتیجه‌گیری:** با توجه به محدودیت‌های این مطالعه میزان gap در نمونه‌های ریخته شده با آلیاز طلا کمتر از نمونه‌های ساخته شده با آلیاز بیس مثال بود. میزان overhang گروه‌های ساخته شده با آلیاز بیس مثال کمتر از نمونه‌های ساخته شده از آلیاز طلا بود. میزان overhang در نمونه‌هایی که با روش ایمپرشن کپ ریخته شده‌اند بیش از دو روش casting دیگر بود.

**کلید واژه‌ها:** Dental implant, Impression cap, Burn out cap, Marginal gap, Overhang, Finish line, Overextended margin, Marginal fit: Dental alloy, Marginal discrepancy

وصول: ۱۳/۰۴/۰۸۵ اصلاح نهایی: ۲۳/۰۷/۰۸ تأیید چاپ: ۱۴/۰۹/۰۸

## مقدمه

باکتریایی و رشد و نمو باکتری‌ها و ایجاد کلنی‌های باکتریایی می‌شود. عفونت باکتریایی می‌تواند در مراحل اولیه کار گذاشتن ایمپلنت‌ها استئواپتگریشن و یکی شدن ایمپلنت‌ها را با استخوان از یک سو و موفقیت درمان‌های guided bone regeneration را از سوی دیگر به مخاطره بیندازد. و در مراحل بعدی نیز با ایجاد التهاب در بافت‌های اطراف ایمپلنت‌ها می‌تواند موفقیت عمل را به مخاطره بیندازد و باعث بروز "peri-implantitis" گردد (۱-۶). در صورتیکه gap مارژینال خیلی زیاد باشد می‌تواند سبب حل شدن سمان بین کراون و ایمپلنت گردد. تحقیقات نشان داده است که اگر میزان این gap بیشتر از  $150\ \mu\text{m}$  باشد سبب شسته شدن سمان می‌شود (۷).

پس از نشستن casting روی ابامنت وجود هرگونه فاصله بین لبه casting و لبه ابامنت مؤید وجود marginal discrepancy و عدم fit مناسب می‌باشد. casting marginal discrepancy عموماً در دو بعد سنجیده می‌شود (۸) (شکل ۱).

تطابق بین ایمپلنت و فریم‌ورک جهت اطمینان از نتایج کلینیکی رضایت‌بخش در دراز مدت ضروری است. تطابق ضعیف فریم‌ورک‌ها با ایمپلنت سبب تغییراتی در استخوان اطراف ایمپلنت (۱) و افزایش مشکلات تکنیکی می‌شود (۲). تطابق ضعیف بین ایمپلنت و فریم سبب ایجاد مشکلاتی مثل شکستگی قطعات، شل شدن پیچ، تحلیل استخوان مارژینال و از دست رفتن استئواپتگریشن می‌شود (۳). زمانیکه دو سطح با تطابق ضعیف ( $380\ \mu\text{m}$  و  $340\ \mu\text{m}$ ) در یک دوره ۴ هفته‌ای بدون حضور load با هم مقایسه شدند، مشخص شد تطابق ضعیف به شدت پاسخ استخوان را تحت تاثیر قرار می‌دهد (۴).

از طرف دیگر مارژین‌های ایمپلنت سبب تجمع پلاک، مشکلات لتهای و التهاب لته می‌شود. مطالعات مختلف نشان می‌دهد حتی در سیستم‌های ایمپلنت با تطابق بالا در سوبراستراکچر، هنوز seal در ناحیه مارژینال تضمین نمی‌شود (۵). این مسئله سبب تجمع پلاک

von Fraunhofer مارژینال دیسکرپانسی حدود  $120\mu\text{m}$  را نیز در محدوده قابل قبول می‌دانند (۱۴).

Besimo و همکاران متوسط مارژینال گپ را در رستوریشن‌های ریختگی بیش از  $80\mu\text{m}$  گزارش نمودند و مسئله وجود تفاوت‌های شدید در اعداد گزارش شده را مورد توجه قرار دادند (۱۵).

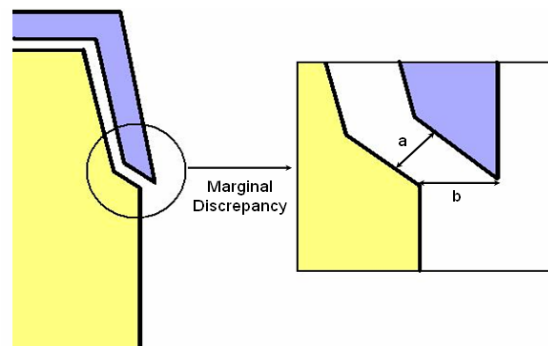
Sutherland و همکاران با بررسی کراون‌های ساخته شده برای ابامنت‌های CeraOne میزان مارژینال دیسکرپانسی را در این کراون‌ها پس از سمان کردن  $168/8\pm23\mu\text{m}$  گزارش نمودند (۱۰).

Clayton و همکاران مارژینال دیسکرپانسی را در همین کراون‌ها در حدود  $62\mu\text{m}$  گزارش نموده‌اند. آنها همچنین ذکر نمودند که در ناحیه مارژین رستوریشن‌ها حداکثر دیسکرپانسی قابل قبول در حدود  $25\mu\text{m}$  می‌باشد و بیش از این مقدار قابل قبول نمی‌باشد (۱۶). میزان gap ارائه شده در مقالات مختلف در جدول ۱ به طور خلاصه ارائه شده است.

van Steenberghe و Quirynen اظهار داشتند که leakage عامل تحلیل استخوان در اطراف ایمپلنت‌های تیتانیومی با سطح صاف و screw shaped ۱/۵-۱ میلی‌متری ناحیه ایترفیس می‌باشد (۶).

Rangert و همکاران در سال ۱۹۹۱ اظهار داشتند که وجود حرکات بسیار جزئی در بین اجزای رستوریشن‌های دارای ساپورت ایمپلنتی باعث بیشتر شدن marginal gap و نیز بروز پدیده‌ای به نام leakage pumping effect می‌گردد که این پدیده خود باعث تشديد می‌شود (۱۹).

در سیستم ایمپلنت‌های سمان شونده برای ایجاد تطابق شده است، اما به دلیل هزینه اضافی یا تجدید casting، بسیاری از



شکل ۱- دیسکرپانسی لبه رستوریشن‌ها. a) gap b) overhang.

بعد عمودی (vertical marginal discrepancy) یا gap، شامل کوتاهترین فاصله عمودی (موازی با مسیر نشست) بین فریم و finishing line ابامنت، پس از نشستن فریم بر روی آن، می‌باشد. بعد افقی (horizontal marginal discrepancy) یا overhang (horizontal marginal discrepancy) شامل فاصله بین خارجی ترین لبه مارژین فریم و حد نهایی لبه شامل ابامنت، پس از نشستن فریم بر روی آن، می‌باشد (۱۱).

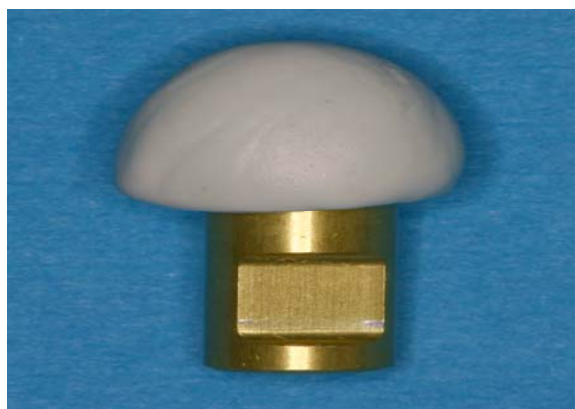
Marginal gap در رستوریشن‌های ریختگی در شرایط بالینی و آزمایشگاهی مورد بررسی بسیاری از محققین قرار گرفته است و بعضاً این مطالعات به نتیجه یکسانی منجر نشده است؛ برای مثال Dedmon مارژینال دیسکرپانسی را در حدود  $104\mu\text{m}$  تا  $119\mu\text{m}$  باشد، قابل قبول گزارش نموده است (۱۲).

Holmes و همکاران در کراون‌هایی که با استفاده از روش الکتروفورمینگ ساخته شده بودند، میزان مارژینال دیسکرپانسی را در حدود  $36\pm24/1\mu\text{m}$  و در کراون‌های ریختگی معمولی متال سرامیک در حدود  $64\pm32/7\mu\text{m}$  گزارش نمودند (۱۳). McLean و

جدول ۱- خلاصه میزان Gap ارائه شده در مقالات مختلف

Author	Year	Journal	Gap ( $\mu\text{m}$ )
McLean, et al(14)	1971	Br Dent J	120*
Dedmon, et al(12)	1985	Oper Dent	104-119*
Sutherland, et al(10)	1995	J Prosthodont	168.8
Jemt, et al(18)	1995	Clin Oral Implants Res	42-74
Holmes, et al(13)	1996	J Prosthodont	64
Clayton, et al(16)	1997	Int J Oral Maxillofac Implants	62
Besimo, et al(15)	1999	Int J Oral Maxillofac Implants	80
Takahashi, et al(17)	2003	J Prosthet Dent	46.8*

\* میزان Gap قبل قبول از نظر نویسنده که در مقاله ذکر شده است.



شکل-۳- (A) گیج دیجیتالی

سپس جهت تهیه ایندکس از ماده قالب‌گیری پلی متیل Speedex;Coltene/Whaledent Inc,Aria Dent, سایلوکسان (Tehran, Iran) استفاده شد (شکل ۳B).



شکل-۳- (B) ایندکس جهت یکسان‌سازی نمونه‌ها

آماده‌سازی در گروه‌ها به صورت زیر بود:

در گروه اول burn-out cap تا ارتفاع آنالوگ اباتمنت کوتاه شد و بر روی آنالوگ نشانده شد سپس موم مایع (Pico sculpting wax,Renfert GmbH,Hilzingen,Germany) داخل ایندکس پوتی قرار داده شد و به طور مستقیم روی burn out cap در امتداد محور طولی آنالوگ اباتمنت قرار داده شد. پس از خنک شدن موم، موم‌های اضافی برداشته شد و ایندکس برداشته شدند.

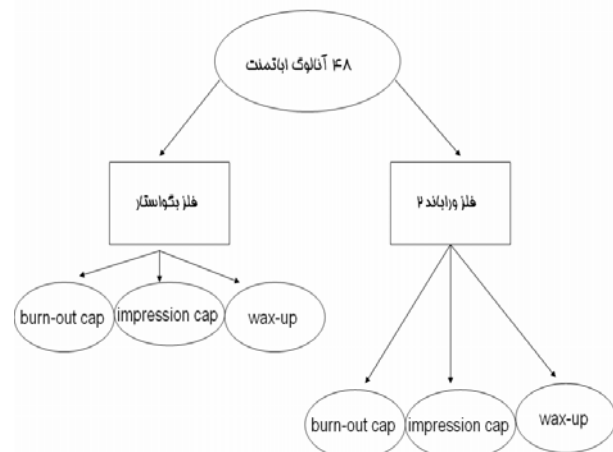
در گروه دوم impression cap (ITI; Straumann AG, Waldenburg, Switzerland) تا ارتفاع ۱ میلی‌متر کرونالی نسبت به finishing line کوتاه شد و همان مراحل wax-up شبیه گروه اول انجام شد.

تکنیسین‌ها از روش‌های دیگر مثل موم کاری (wax up) مستقیم و یا impression cap (قطعه‌ای که برای قالب‌گیری در نظر گرفته شده است) استفاده می‌کنند.

هدف از مطالعه حاضر تعیین میزان gap و overhang در ناحیه کوپینگ‌های فلزی که با سه روش کستینگ با دو نوع آلیاز بروی ایمپلنت‌های ITI تهیه شده‌اند، می‌باشد.

## روش بررسی

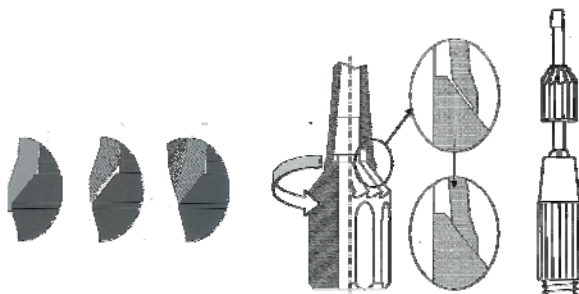
این مطالعه از نوع experimental بود. چهل و هشت آنالوگ اباتمنت (ITI; Straumann AG, Waldenburg, Switzerland) با ارتفاع ۴ میلی‌متر به صورت تصادفی به دو گروه تقسیم شدند به صورتیکه در هر گروه بیست و چهار نمونه قرار گرفت. سپس هر گروه به سه گروه دیگر تقسیم شدند به صورتی که در هر کدام از شش گروه مورد مطالعه هشت نمونه قرار گرفت (شکل ۲).



شکل ۲- نحوه توزیع نمونه‌ها در شش گروه مورد مطالعه

به منظور یکسان‌سازی نمونه‌ها، یک burn out cap بر روی (ITI; Straumann AG, Waldenburg, Switzerland) یک آنالوگ اباتمنت (ITI, straumann AG, Waldenburg, Switzerland) نشانده شده و پس از کوتاه کردن تا سطح آنالوگ، با ضخامت ۰/۷ میلی‌متر در تمامی نواحی به جز در ناحیه اکلوزال (Switzerland) موم‌کاری شد. این قطر با استفاده از یک گیج دیجیتالی (Mitutoyo America Corp, Aurora, Ill) با دقت ۰/۰۰۱ میلی‌متر اندازه‌گیری شد (شکل A).

(Buehler, Germany) به صورت عمودی برش داده شدند. قبل از انجام SEM، کلیه نمونه‌ها به منظور حذف خشونتهای سطحی حین (Polisher Grinder, Iran) برش توسط دستگاه پالیشینگ ماشین (Polisher Grinder, Iran) پرداخت شدند.



شکل ۴- نحوه عملکرد ریمر



شکل ۵- از راست به چپ: فریم بر روی آنالوگ نشانده شده، در آکریل شفاف قرار داده، سپس برش داده شده است.

توضیح اینکه از کاغذ سمباده (Soft flex, Germany) با درجات زیری مختلف استفاده شد. به طوری که پالیش نمونه‌ها توسط سمباده زیر (۲۰۰)، سمباده متوسط (۶۰۰) و سمباده نرم (۸۰۰) انجام شد. لازم به ذکر است چون نمونه‌ها در آکریل قرار داده شده بودند، این عملیات هیچ تاثیری بر میزان gap نداشت و صرفا سبب صاف شدن سطح نمونه‌ها و بهتر دیده شدن مناظر در زیر میکروسکوپ شد. سپس نمونه‌ها به مدت ۱۰ دقیقه در آب قطره در دمای ۵۰ درجه سانتیگراد، اولتراسونیک (Ultrasonic cleaner system, Star sonic, Italy) شدند.

سپس نمونه‌ها در حفاضات کستینگ و آنالوگ در مارژین مزیالی و

در گروه سوم تنها از ایندکس پوتی جهت wax-up مستقیم بر روی آنالوگ اباتمنت استفاده شد. گروه چهارم مانند گروه اول آماده شد. گروه پنجم مانند گروه دوم آماده شد و گروه ششم مانند گروه سوم آماده شد. در مرحله casting هر سه نمونه در یک سیلندر به صورت خطی قرار داده شدند، به طوریکه اسپرو با زاویه ۴۵ درجه نسبت به محور طولی coping در سطح اکلوزال متصل شد. تمام اسپروها ۱/۲۵ میلی‌متر ضخامت و ۱۰ میلی‌متر طول داشتند. یک مو مگد ۱۸ گیج به منظور vent در گوشه محل اتصال اسپرو به مدل مومی متصل شد (۲۱، ۲۰).

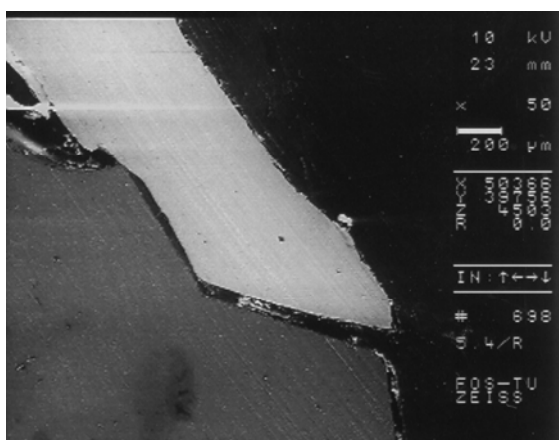
الگوهای سه گروه اول، دوم و سوم پس از سیلندر گذاری در گج بلاوست T (Bellavest T, BEGO, Bremen, Germany) با نسبت آب به گج توصیه شده و طبق درجه حرارت پیشنهادی کارخانه سازنده با فلز بگوستار (BegoStar, BEGO, Bremen, Germany) ریخته شدند. الگوهای سه گروه چهارم، پنجم و ششم پس از سیلندر گذاری در گج فیضات باند با نسبت آب به گج توصیه شده و طبق درجه حرارت پیشنهادی کارخانه سازنده با آلیاژ بیس متابل نیکل کروم (Albadent, Cordelia, USA) Verabond2 لازم به ذکر است کلیه مراحل casting در یک لابراتوار و توسط یک تکنیسین انجام شد. کلیه نمونه‌ها پس از خارج شدن از سیلندر با استفاده از اکسید آلمینیوم  $150\text{ }\mu\text{m}$  و با فشار ۵ بار به مدت ۲۰ ثانیه از فاصله ۱ سانتی‌متری abrade شدند. سپس با استفاده از ریمر مارژینال کلیه نمونه‌ها (شش گروه) تحت استریومیکروسکوپ (Meiji Techno, Model BM 38834, Tokyo, Japan) با بزرگنمایی ۱۰ تنظیم شدند. لازم به ذکر است این مرحله توسط کارخانه ارائه کننده ایمپلنت با هدف حذف لبه طراحی شده به منظور بهبود کیفیت casting توصیه شده است (شکل ۴).

نشست فریم‌ها بر روی آنالوگ اباتمنت‌ها با واش ماده قالبگیری Speedex چک شد. سپس فریم‌ها بر روی آنالوگ‌ها قرار داده شدند (شکل ۵). نمونه‌ها در بلک‌های آکریل شفاف self cured repair material (Dentsply International, Inc. Milford, DE.) قرار داده و در pressure pot پخته شدند (شکل ۵).

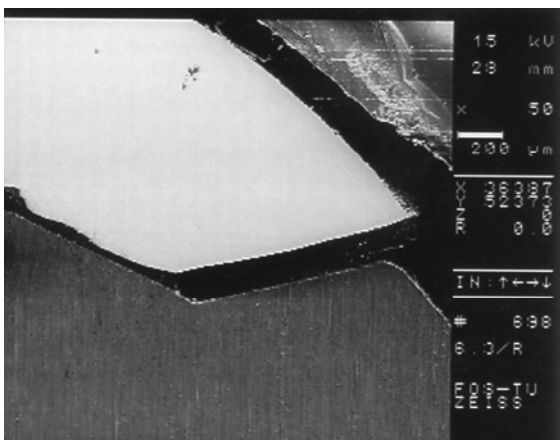
پس از آماده شدن، نمونه‌ها توسط دستگاه ایزومت



شکل-۷ (B) نمونه SEM گروه چهارم



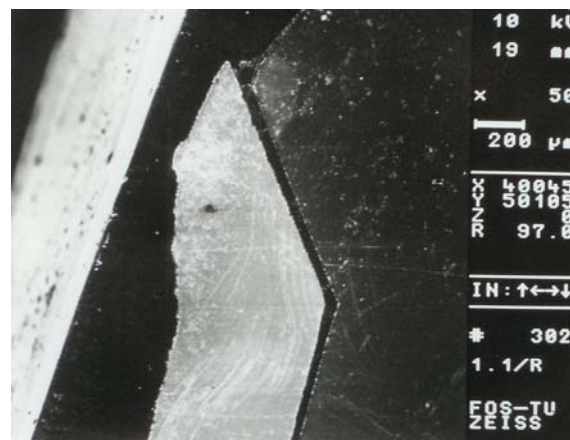
شکل-۸ (A) نمونه SEM گروه پنجم



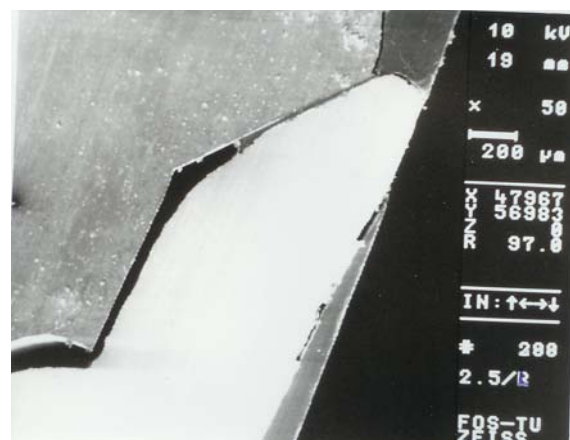
شکل-۸ (B) نمونه SEM گروه ششم

یک نرم افزار کامپیوترا (Screen Beagle Version 1.31, Greatest Software, Silver Spring, Md) به کار برده شد. نحوه عملکرد نرم افزار به این صورت می‌باشد که با بزرگنمایی تصاویر و داشتن مقیاس یکسان دیسکرپانسی

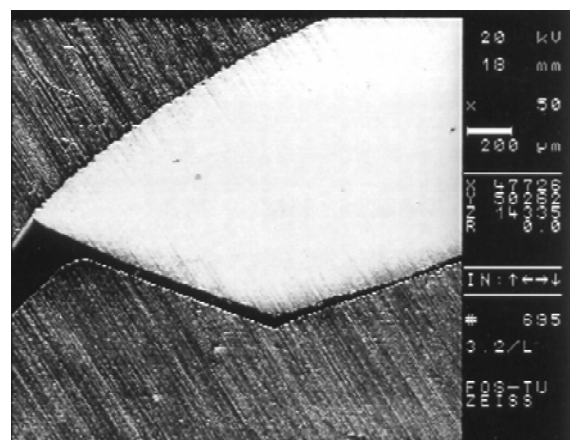
(Scanning Electron Microscope) SEM (JSM-6340F, JEOL, Tokyo, Japan) با بزرگنمایی ۲۰۰ از نظر مارژینال دیسکرپانسی عمودی (overhang) و افقی (gap) مورد ارزیابی قرار گرفتند (شکل-۶-۸).



شکل-۶ (A) نمونه SEM گروه اول



شکل-۶ (B) نمونه SEM گروه دوم



شکل-۷ (A) نمونه SEM گروه سوم

جدول ۳- متوسط میزان overhang در سه روش کستینگ با دو نوع آلیاز

روش	بگوستار	ورا باند ۲	میانگین (انحراف معیار)	میانگین (انحراف معیار)
Burn out .۱	Impression .۲	Wax up .۳	۹۰/۰ (۱۲/۵)	۱۲۴/۱ (۱۰/۲)
cap	impression cap	wax up	۲۰۶/۹ (۲۷/۳۳)	۲۸۰/۵ (۴۷/۵)
			۹۳/۰ (۲۵/۴)	۱۳۸/۰ (۳۱/۴)

میزان overhang در سه روش کستینگ burn out cap و impression cap و wax up با دو نوع آلیاز (BegoStar, Verabond 2) impression cap نوع آلیاز با هم اختلاف آماری معنی‌داری نداشتند ( $P=0.93$ ). طبق بررسی‌های انجام شده میزان overhang گروه‌های ساخته شده با آلیاز بیس متال به طور معنی‌داری کمتر از نمونه‌های ساخته شده با آلیاز طلا بود ( $p<0.001$ ). همچنین بین اندازه‌های بدست آمده از نظر کستینگ اختلاف معنی‌دار آماری وجود داشت ( $p<0.001$ ). به طوری که میزان overhang در نمونه‌هایی که با روش impression cap ریخته شده بودند بیش از دو روش کستینگ دیگر بود ( $p<0.001$ ). اما بین میزان overhang در دو روش کستینگ wax up و burn out cap نداشت ( $p>0.05$ ).

### بحث و نتیجه گیری

در بیشتر گزارشات در مورد تطابق دقیق فریم‌ورک‌های ساخته شده از طلا بحث شده است (۱۷). Jemt و Lie در بررسی‌های خود بر روی تطابق casting در ایمپلنت‌ها که با استریومیکروسکوپ ارزیابی شد، گزارش کردند که gap بین فریم‌ورک ریخته شده از طلا و ابامنت ایمپلنت بین ۴۲ تا  $74\mu\text{m}$  است (۱۸). Jemt و Book در طی یک مطالعه prospective برروی ۷ بیمار پس از گذشت ۵ سال نشان دادند که متوسط discrepancy در تطابق بین پروتز ثابت و ایمپلنت  $111\mu\text{m}$  و مقدار حداقل آن  $275\mu\text{m}$  می‌باشد. آنها مطرح کردند که تطابق ضعیف مهمنترین عامل در شکست بیولوژیک می‌باشد (۲۲). اما در هر صورت مقدار قابل قبول gap در مورد ایمپلنت‌ها تا کنون ارائه

عمودی و افقی را اندازه‌گیری می‌نماید.

متوسط میزان gap و overhang مارجین‌ها برای هر گروه محاسبه شد. داده‌ها توسط تست آماری Multivariate و تست post-hoc Bonferroni با  $\alpha=0.05$  آنالیز شد.

### یافته‌ها

اندازه‌گیری gap برای هر نمونه برش داده شده در دو ناحیه مزیال و دیستال انجام شد. آنالیز دو ناحیه مزیال و دیستال از نظر gap اختلاف معنی‌داری نشان نداد. میانگین میزان gap در سه روش کستینگ با دو نوع آلیاز در جدول ۲ آمده است.

جدول ۴- متوسط میزان gap در سه روش کستینگ با دو نوع آلیاز

روش	بگوستار	ورا باند ۲	میانگین (انحراف معیار)	میانگین (انحراف معیار)
Burn out .۱	Impression .۲	Wax up .۳	۵۳/۷۴ (۱۱/۰)	۱۵۴/۱ (۳۳/۸)
cap			۶۳/۶ (۱۳/۲)	۱۳۷/۸ (۱۱/۴)
			۵۰/۱ (۱۷/۳)	۱۲۹/۷ (۴۲/۸)

میزان gap در سه روش کستینگ و burn out cap و impression cap و wax up و با دو نوع آلیاز (BegoStar, Verabond 2) با هم اختلاف آماری معنی‌داری نداشتند ( $p=0.56$ ).

میزان gap در سه روش کستینگ و burn out cap و impression cap و wax up صرف نظر از نوع آلیاز با هم اختلاف آماری معنی‌داری نداشتند ( $p=0.92$ ).

میزان gap در نمونه‌های ساخته شده از جنس آلیاز طلا به طور معنی‌داری کمتر از نمونه‌های ساخته شده با آلیاز بیس متال بود ( $p<0.001$ ). اندازه‌گیری overhang برای هر نمونه برش داده شده در دو ناحیه مزیال و دیستال انجام شد.

تست‌های آماری multivariate و post Hoc (Bonferroni) جهت ارزیابی میزان overhang انجام شد. آنالیز دو ناحیه مزیال و دیستال از نظر overhang اختلاف آماری معنی‌داری نشان نداد. نتایج بدست آمده از اندازه‌گیری متوسط میزان overhang توسط تست آماری multivariate در جدول ۳ آورده شده است.

قابل قبول در کران‌های طلای متکی بر دندان، این میزان را  $104\text{ }\mu\text{m}$  و silken آن را  $116\text{ }\mu\text{m}$  اعلام کرد (۲۷,۲۸). البته باید به این نکته توجه کرد که وجود رپلیکای لابراتواری در ایمپلنت‌ها مراحل تهیه دای گچی را حذف کرده و سبب افزایش دقیق در ایمپلنت‌های دندانی می‌شوند. مطالعه Sartori و همکاران ببروی میزان تطابق پروتزهای پیچ شونده ساخته شده از طلا و تیتانیوم نشان داد که میزان گپ در گروه ساخته شده از  $69/2\text{m}\mu\pm24/9$  و در گروه ساخته شده از تیتانیوم  $94/2\text{m}\mu\pm40/0$  می‌باشد. آنها این افزایش گپ را در تیتانیوم مربوط به مشکل بودن روش‌های casting در این آلیاژ دانستند (۲۹).

در مطالعه حاضر متوسط میزان gap در نمونه‌های ساخته شده از آلیاژ طلا در روش‌های استفاده از wax-up, burn-out و impression cap به ترتیب  $63/6\text{ }\mu\text{m}$ ,  $50/1\text{ }\mu\text{m}$ ,  $53/7\text{ }\mu\text{m}$  بود که

با نتایج مطالعه Jemt و همکاران همخوانی دارد.

افزایش قیمت طلا و فلزات قیمتی سبب استفاده از آلیاژهای غیرقیمتی در دندانپزشکی شده است. از طرف دیگر نیاز به سبک بودن فریمورک‌های ایمپلنت در بعضی از نواحی که تحلیل استخوان زیاد، طول ایمپلنت‌ها کوتاه و فریمورک‌ها long span است، دندانپزشکان را به سمت استفاده از آلیاژهای غیرقیمتی در ایمپلنت‌ها برده است (۲۹). تیتانیوم یکی از فلزاتی است که در این زمینه بسیار کارآمد و مفید است. اما casting و روش‌های laser welding این آلیاژ مشکل بوده و نیاز به تجهیزات و داشت کافی دارد (۲۹).

بنابراین در چنین مواردی نیاز به استفاده از آلیاژهای بیس متال می‌باشد. از این رو در مطالعه حاضر میزان gap در سه روش casting با آلیاژ بیس متال نیز بررسی شد. نتایج نشان داد که gap در نمونه‌های ریخته شده از آلیاژ طلا به طور معنی‌داری کمتر از نمونه‌های ریخته شده از آلیاژ بیس متال بود. که این مسئله می‌تواند ناشی از سخت تر بودن روش‌های ریخته گری در فلزات بیس متال باشد.

تفاوت در روش ریختگری در دو آلیاژ (مثل تفاوت در درجه حرارت ریخته گری) نیز می‌تواند این امر را تشدید کند. روش‌های مختلف کلینیکی و لابراتواری جهت دستیابی به casting به ارائه شده است، اما دستیابی به تطابق مناسب بین فریمورک و ابامنت ایمپلنت هنوز مشکل است (۲۹).

البته باید به این موضوع توجه داشت که مطالعه حاضر تمام منابع

نشده است.

برنمارک در سال ۱۹۸۳ عدم تطابق  $10\text{ }\mu\text{m}$  را به عنوان ماکزیمم gap قابل قبول پیشنهاد کرد (۲۳). نتایج حاصل از SEM بر روی تطابق مارژینال و میکروبیال لیکیج در ایمپلنت‌ها نشان داد که عدم تطابق بین  $150-50\text{ }\mu\text{m}$  سبب میکروبیال لیکیج می‌شود (۲۴). Takahashi و همکاران نیز میزان gap را در فریم‌های ریخته شده از طلا  $46/8\text{ }\mu\text{m}$  گزارش کردند. در این مطالعه مارژینال دیسکرپانسی توسعه اندازه‌گیری خاصیت ماده لایت بادی به عنوان fit checker بین فریم‌ورک و ابامنت ایمپلنت ارزیابی شد (۲۷). اگر چه استفاده از مواد قالبگیری لایت بادی یک روش ارزیابی تطابق فریم‌ورک در کلینیک می‌باشد اما روش دقیقی جهت تعیین دقیق مارژینال دیسکرپانسی نیست.

در مطالعه Keith و همکاران میزان مارژینال دیسکرپانسی کوپینگ‌های طلای ریخته شده در ایمپلنت‌های سمان شونده ITI قبل از پرسلن گذاری  $5/5\text{ }\mu\text{m}\pm32/32$  گزارش شده است. این دیسکرپانسی قبل از سمان کردن  $54/4\pm18/1\text{ }\mu\text{m}$  و بعد از سمان کردن با گلاس آینومر  $57/4\pm20/2\text{ }\mu\text{m}$  گزارش شده است. نکات قابل توجه در این مطالعه این است که دیسکرپانسی عمودی و افقی به صورت مجرا محاسبه نشده و به نظر می‌رسد دیسکرپانسی به صورت کلی محاسبه شده است. از طرف دیگر ارزیابی‌های مارژینال دیسکرپانسی زیر میکروسکوپ نوری و با بزرگنمایی ۵۰ انجام شده است (۲۵).

Guindy و همکاران مطالعه‌ای را ببروی رابطه کروزن در ناحیه مارژینال گپ سوپراستراکچرهای متکی بر ایمپلنت، با شکست ایمپلنت انجام دادند. آنها ۶ بیمار را که دارای سوپراستراکچرهای high gold بودند و ایمپلنت‌شان دچار شکست شده بود بررسی کردند و اعلام کردند که علیرغم high gold بودن سوپراستراکچرهای همچنان کروزن رخ داده است (۲۶).

بنابراین می‌توان نتیجه گرفت فرآیند اکسیداسیون در مرحله باندینگ پرسلن ضروری است. آنها اعلام کردند در صورت وجود گپ، این فرآیند تشدید شده و یون‌های قلزی سمی در ناحیه آزاد می‌شوند. این یون‌ها در ناحیه استخوان اطراف ایمپلنت پخش شده و می‌توانند سبب از دست رفتن استوایتگریشن شوند.

Dedmon در مطالعه خود در مورد میزان marginal opening

تطابق لبه داخلی و کاهاش vertical discrepancy همت گماشته‌اند. در مطالعه حاضر میزان overhang در گروه‌های آماده شده با آلیاز بیس مثال به طور معنی‌داری کمتر از نمونه‌های ساخته شده از طلا بود. این مسئله را می‌توان به سخت تر بودن روش ریختگی و کاهاش دقت ریختگی در آلیاز بیس مثال مربوط دانست. از طرف دیگر میزان overhang در نمونه‌هایی که با روش impression cap ریخته شده‌اند بیش از دو روش casting دیگر بود. این مطلب را می‌توان به ضخامت بیشتر ایمپشن کپ در ناحیه مارژین مربوط دانست.

نکته قابل ذکر آن است که در این مطالعه از ایمپشن کپ‌های نو در طول مطالعه استفاده شد. این در حالی است که تکنیسین‌ها از ایمپشن کپ‌های خارج شده از قالب (re-used) استفاده می‌کنند که خود این مسئله سبب افزایش gap و overhang در این روش می‌شود. با توجه به نتایج به دست آمده پیشنهاد می‌شود از آلیاز طلا در ساخت فریم ایمپلنت استفاده گردد. از طرف دیگر بهترین روش ساخت ایمپلنت از casting استفاده از wax up یا burn out cap مستقیم بر روی ابتدمنت می‌باشد.

## تشکر و قدردانی

این مقاله نتیجه طرح تحقیقاتی مصوب مرکز تحقیقات دانشکده دندانپزشکی و دانشگاه علوم پزشکی و خدمات بهداشتی، درمانی تهران به شماره قرارداد ۲۴۶۲ می‌باشد، که بدینوسیله قدردانی می‌گردد. همچنین از جناب آقای دکتر محمد جواد خرازی فرد و شرکت شهید فقیهی بابت همکاری‌های صمیمانه‌شان سپاسگزاری می‌شود.

**۱-** Jemt T, Lekholm U. Measurements of bone and frame-work deformations induced by misfit of implant superstructures. A pilot study in rabbits. *Clin Oral Implants Res.* 1998 Aug;9(4):272-80.

**۲-** Kallus T, Bessing C. Loose gold screws frequently occur in full-arch fixed prostheses supported by osseointegrated implants after 5 years. *Int J Oral Maxillofac Implants.* 1994 Mar-Apr;9(2):169-78.

**۳-** Wise M. Fit of implant-supported fixed prostheses fabricated on master casts made from a dental stone and a dental plaster. *J Prosthet Dent.* 2001 Nov;86(5):532-8.

**۴-** Carr AB, Gerard DA, Larsen PE. The response of bone in primates around unloaded dental implants supporting prostheses with different levels of fit. *J Prosthet Dent.* 1996 Nov;76(5):500-9.

**۵-** Kersten S, Tiedemann C. Strength and marginal fit of full

خطا از جمله روش‌های قالبگیری و ریختن کست را حذف کرده، بنابراین عدم تطابق حاصله محدود به روش‌های لابراتواری و خطاهای ریخته گری می‌باشد. متوسط میزان gap در نمونه‌های ساخته شده از آلیاز بیس مثال در روش‌های استفاده از burn-out، wax-up و impression cap به ترتیب  $1\text{ }\mu\text{m}$ ,  $1.56\text{--}1.7\text{ }\mu\text{m}$ ,  $1.29\text{--}1.37\text{ }\mu\text{m}$  بود. بر اساس مطالعات میزان کرانه‌ای دارای overhang بین ۲۶٪ تا ۵۰٪ می‌باشد (۳۰). در هر صورت عوارض overhang بر لئه شناخته شده است. اما یادآوری این نکته ضروری است که مارژین دارای overhang اجازه تجمع پلاک‌های سوپراژنیوالی را به خوبی پلاک‌های ساب ژنژیوالی می‌دهد. بنابراین پاسخ پریودنتالی به کراون دارای overhang در مقایسه با marginal gap شدیدتر خواهد بود (۳۱). ارزیابی‌های کلینیکی نشان داده است که تشخیص overhang در مقایسه با marginal gap راحت‌تر است (۳۲).

بر اساس مطالعات انجام شده اکثر کراون‌ها دارای overhang حد  $4.82\text{ }\mu\text{m}$  می‌باشند (۳۳). بر اساس مطالعات White و همکاران هیچ کراونی وجود ندارد که دارای overhang کمتر از  $2.9\text{ }\mu\text{m}$  باشد (۳۴). بر اساس مطالعات Boeckler و همکاران میزان  $14.9\pm3.1\text{ }\mu\text{m}$  Au Pd Pt معادل  $14\text{ }\mu\text{m}$  بود (۳۰). نتایج مطالعه حاضر در مورد overhang در روش‌های استفاده از wax up و burn out cap با مطالعه Boeckler و همکاران تطابق دارد. نکته قابل توجه آن است که لبه طراحی شده در مارژین به burn out cap به منظور بهبود کیفیت casting رستوریشن متکی بر ایمپلنت می‌باشد. اما شرکت‌های سازنده ایمپلنت‌های دندانی فقط به

## منابع

- and partial porcelain crowns on Brânemark implants. *Clin Oral Implants Res.* 2000 Feb;11(1):59-65.
- ۶-** Quirynen M, van Steenberghe D. Bacterial colonization of the internal part of two-stage implants. An in vivo study. *Clin Oral Implants Res.* 1993 Sep;4(3):158-61.
- ۷-** Quirynen M, Bollen CM, Eyssen H, van Steenberghe D. Microbial penetration along the implant components of the Brânemark system. An in vitro study. *Clin Oral Implants Res.* 1994 Dec;5(4):239-44.
- ۸-** Tonetti MS, Straub AM, Lang NP. Expression of the cutaneous lymphocyte antigen and the alpha IEL beta 7 integrin by intraepithelial lymphocytes in healthy and diseased human gingiva. *Arch Oral Biol.* 1995 Dec;40(12):1125-32.
- ۹-** Jacobs MS. An investigation of dental luting cement solubility as a function of the marginal gap. *J Prosthet Dent.* 1991;65:436-442.

- 10-** Sutherland JK, Loney RW, Syed S. Marginal discrepancy of all-ceramic crowns cemented on implant abutments. *J Prosthodont.* 1995 Sep;4(3):173-7.
- 11-** Holmes JR, Bavne SC, Holland GA, Sulik WD. Considerations in measurement of marginal fit. *J Prosthet Dent* 1989;62:405-8
- 12-** Dedmon HW. Ability to evaluate nonvisible margins with an explorer. *Oper Dent.* 1985 Winter;10(1):6-11.
- 13-** Holmes JR, Pilcher ES, Rivers JA, Stewart RM. Marginal fit of electroformed ceramometal crowns. *J Prosthodont.* 1996 Jun; 5(2):111-4.
- 14-** McLean JW, von Fraunhofer JA. The estimation of cement film thickness by an in vivo technique. *Br Dent J.* 1971 Aug 3;131(3):107-11.
- 15-** Besimo CE, Guindy JS, Lewettag D, Meyer J. Prevention of bacterial leakage into and from prefabricated screw-retained crowns on implants in vitro. *Int J Oral Maxillofac Implants.* 1999 Sep-Oct;14(5):654-60.
- 16-** Clayton GH, Driscoll CF, Hondrum SO. The effect of luting agents on the retention and marginal adaptation of the CeraOne implant system. *Int J Oral Maxillofac Implants.* 1997 Sep-Oct;12(5):660-5.
- 17-** Takahashi T, Gunne J. Fit of implant frameworks: an in vitro comparison between two fabrication techniques. *J Prosthet Dent.* 2003; 89:256-60.
- 18-** Jemt T, Lie A. Accuracy of implant-supported prostheses in the edentulous jaw: analysis of precision of fit between cast gold-alloy frameworks and master casts by means of a three-dimensional photogrammetric technique. *Clin Oral Implants Res.* 1995 Sep;6(3):172-80.
- 19-** Rangert B, Gunne J, Sullivan DY. Mechanical aspects of a Branemark implant connected to a natural tooth: an in vitro study. *Int J Oral Maxillofac Implants.* 1991 6(2):177-86.
- 20-** Wight TA, Grisius RJ, Gaugler RW. Evaluation of three variables affecting the casting of base metal alloys. *J Prosthet Dent.* 1980 Apr;43(4):415-8.
- 21-** Vermilyea SG, Kuffler MJ, Tamura JJ. Casting accuracy of base metal alloys. *J Prosthet Dent.* 1983 Nov;50(5):651-3.
- 22-** Jemt T, Book K. Prosthesis misfit and marginal bone loss in edentulous implant patients. *Int J Oral Maxillofac Implants.* 1996 Sep-Oct;11(5):620-5.
- 23-** Bränemark PI. Osseointegration and its experimental background. *J Prosthet Dent.* 1983 Sep;50(3):399-410.
- 24-** Jansen VK, Conrads G, Richter EJ. Microbial leakage and marginal fit of the implant-abutment interface. *Int J Oral Maxillofac Implants.* 1997 Jul-Aug;12(4):527-40.
- 25-** Keith SE, Miller BH, Woody RD, Higginbottom FL. Marginal discrepancy of screw-retained and cemented metal-ceramic crowns on implants abutments. *Int J Oral Maxillofac Implants.* 1999 May-Jun;14(3):369-78.
- 26-** Guindy JS, Schiel H, Schmidli F, Wirz J. Corrosion at the marginal gap of implant-supported suprastructures and implant failure. *Int J Oral Maxillofac Implants.* 2004 Nov-Dec;19(6):826-31.
- 27-** Dedmon HW. Disparity in expert opinions on size of acceptable margin openings. *Oper Dent.* 1982 Summer;7(3):97-101.
- 28-** Silken D. Indirect evaluation of the marginal fit of dental Castings. *J Prosthodont.* 1992;1:95-100.
- 29-** Sartori IA, Ribeiro RF, Francischone CE, de Mattos Mda G. In vitro comparative analysis of the fit of gold alloy or commercially pure titanium implant-supported prostheses before and after electroerosion. *J Prosthet Dent.* 2004 Aug;92(2):132-8.
- 30-** Boeckler AF, Stadler A, Setz JM. The significance of marginal gap and overextension measurement in the evaluation of the fit of complete crowns. *J Contemp Dent Pract.* 2005 Nov 15;6(4):26-37.
- 31-** Grasso JE, Nalbandian J, Sanford C, Bailit H. Effect of restoration quality on periodontal health. *J Prosthet Dent.* 1985;53:15.
- 32-** Felton DA, Kanoy BE, Bayne SC, Wirthman GP. Effect of in vivo crown margin discrepancies on periodontal health. *J Prosthet Dent.* 1991;65:357-364.
- 33-** Donath K, Roth K. Histomorphometric study to qualify the marginal fit of cast crowns. *Z Stomatol* 1987;84:53-73.
- 34-** White SN, Yu Z, Tom JFMD, Sangsurasak S. In vivo marginal adaptation of cast crowns luted with different cements. *J Prosthet Dent.* 1995;74(1):25-32.